

**MEROCOREMIA MONNEI, GEN.N., SP.N. DE COMPSOCERINI
(COLEOPTERA, CERAMBYCIDAE, CERAMBYCINAE) ¹**

Marinéz Isaac Marques ²

ABSTRACT. *MEROCOREMIA MONNEI*, GEN.N., SP.N. OF COMPSOCERINI (COLEOPTERA, CERAMBYCIDAE, CERAMBYCINAE). Are described a new genus, and a new species, including characteres of the wing venation, mouth pieces, proendosternite, metendosternite and ovipositor. This species has a restrict geographical distribution in Espírito Santo and Bahia – Brazil.

KEY WORDS. Cerambycidae, Compsocerini, *Merocoremia monnei*, new genus, new species

O material examinado pertence às seguintes Instituições: Coleção de Entomologia Pe. Jesus Santiago Moure, Departamento de Zoologia, Universidade Federal do Paraná (DZUP); Museu Nacional, Universidade Federal do Rio de Janeiro (MNRJ); Museu de Zoologia, Universidade de São Paulo (MZSP).

A terminologia adotada para a venação alar segue MARINONI & ALMEIDA (1983); para o metendosternito CROWSON (1938, 1944); para a terminália masculina EHARA (1954) e IUGA & ROSCA (1962) e a masculina e feminina a de LINDROTH & PALMEN (1970).

Merocoremia, gen.n.

Espécie tipo: *Merocoremia monnei*, sp.n.

Cabeça (Figs 3-5), na região posterior, levemente constrita, pouco projetada à frente dos olhos e cerca de duas vezes mais longa que larga, na margem anterior do lobo ocular superior. Fronte declive, plana a deprimida entre os tubérculos anteníferos; cerca de duas vezes mais larga que longa, subigual ao comprimento do clipeo. Clipeo subtriangular, a sutura fronto-clipeal angulosa, bem marcada. Área malar bastante reduzida, com cerca de um sexto do diâmetro do lobo ocular inferior; bordo anterior arredondado pouco projetado. Submento transverso, pouco projetado. Suturas gulares curtas, convergentes. Olhos finamente granulados, chanfrados; lobos oculares inferiores quase três vezes mais largos que os lobos superiores (Fig. 5). Lobos oculares inferiores volumosos, bem desenvolvidos e subcontíguos aos alvéolos antenais; ligação entre os lobos subigual à largura do lobo ocular superior e afastada do alvéolo antenal. Tubérculos

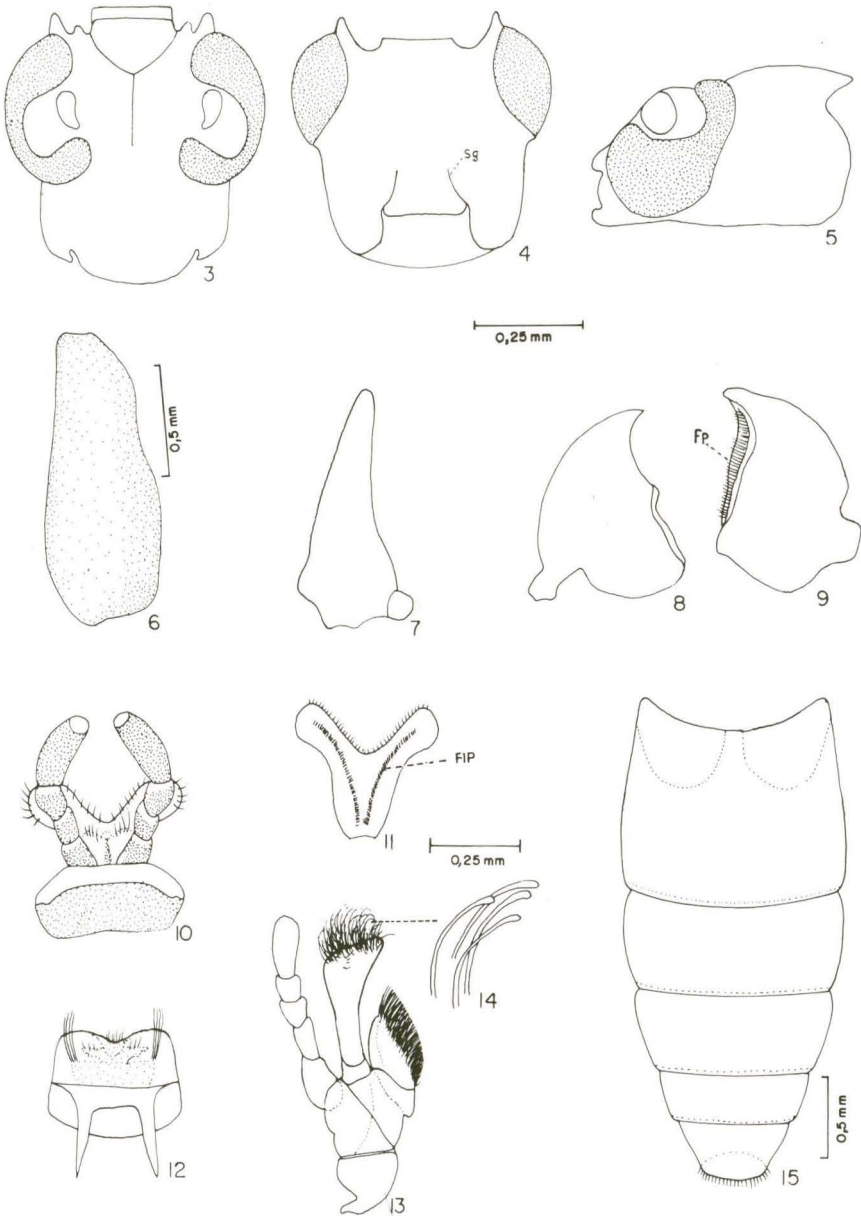
1) Contribuição número 803 do Departamento de Zoologia, Universidade Federal do Paraná.

2) Departamento de Biologia/Zoologia, Instituto de Bio-ciências, Universidade Federal de Mato Grosso, Av. Fernando Corrêa da Costa, 78090-390 Cuiabá, Mato Grosso, Brasil. Bolsista da CAPES.



Figs 1-2. (1) *Merocoremia monnei*, sp.n., holótipo macho, comprimento 5,8 mm; (2) *Merocoremia monnei*, sp.n., parátipo fêmea, comprimento 8,0 mm.

antêniferos abaulados, apenas salientes; mais distantes entre si que a distância entre os lobos oculares superiores. Labro (Fig. 12) transversal, a borda apical levemente sinuosa, com cerdas alongadas aos lados, mais adensadas e curtas na região mediana. Mandíbulas (Figs 7-9) delgadas, a face lateral externa triangular, acuminadas e curvadas no ápice; bordo cortante, ao nível do meio, com dente pouco projetado; franja de pêlos presente até o terço apical. Maxila (Fig. 13): basistipe não fusionado ao dististipe; artículo basal da gálea em forma de anel esclerotizado desenvolvido. Gálea cilíndrico-capitada, mais alargada em direção ao palpo maxilar e com comprimento subigual ao dos palpos maxilares; pilosidade alongada, mais abundante para a região apical, nesta com pêlos capitados (Fig. 14); base retraída entre o palpígero e lacínia. Esta bem desenvolvida, com franja compacta de cerdas ao longo dos bordos apical e lateral externo; margem interna



Figs 3-15. *Merocoremia monnei*, sp.n., (3-5) Cabeça, vista dorsal, ventral e lateral; (6) escapo, macho; (7-9) mandíbula, vista lateral, dorsal e ventral; (10) lábio; (11) lígula face interna; (12) labro; (13) maxila; (14) detalhe de pêlos capitados da gálea; (15) abdômen (FIP= Faixa lateral de pêlos; Fp= franja de pêlos; Sg= Suturas gulares).

e base esclerotinizadas. Palpos maxilares: art culo basal alongado, pouco mais curto que o apical; segundo e terceiro art culos curtos, c nicos, subiguais em comprimento; art culo apical cil ndrico, apenas atenuado no  pice, mais longo que o comprimento do segundo e terceiro somados. Palp gero bem desenvolvido, afastado da base da lac nia. L bio (Fig. 10): mento trapezoidal; l gula membranosa, os lobos laterais bem desenvolvidos; borda apical com chanfro acentuado; face externa com  rea central pigmentada, mais acentuadamente ao longo do meio, com pilosidade alongada; face interna (Fig. 11) com duas faixas laterais estreitas de p los curtos; palp geros individualizados; palpo com art culo apical cil ndrico, mais longo que o primeiro e segundo somados.

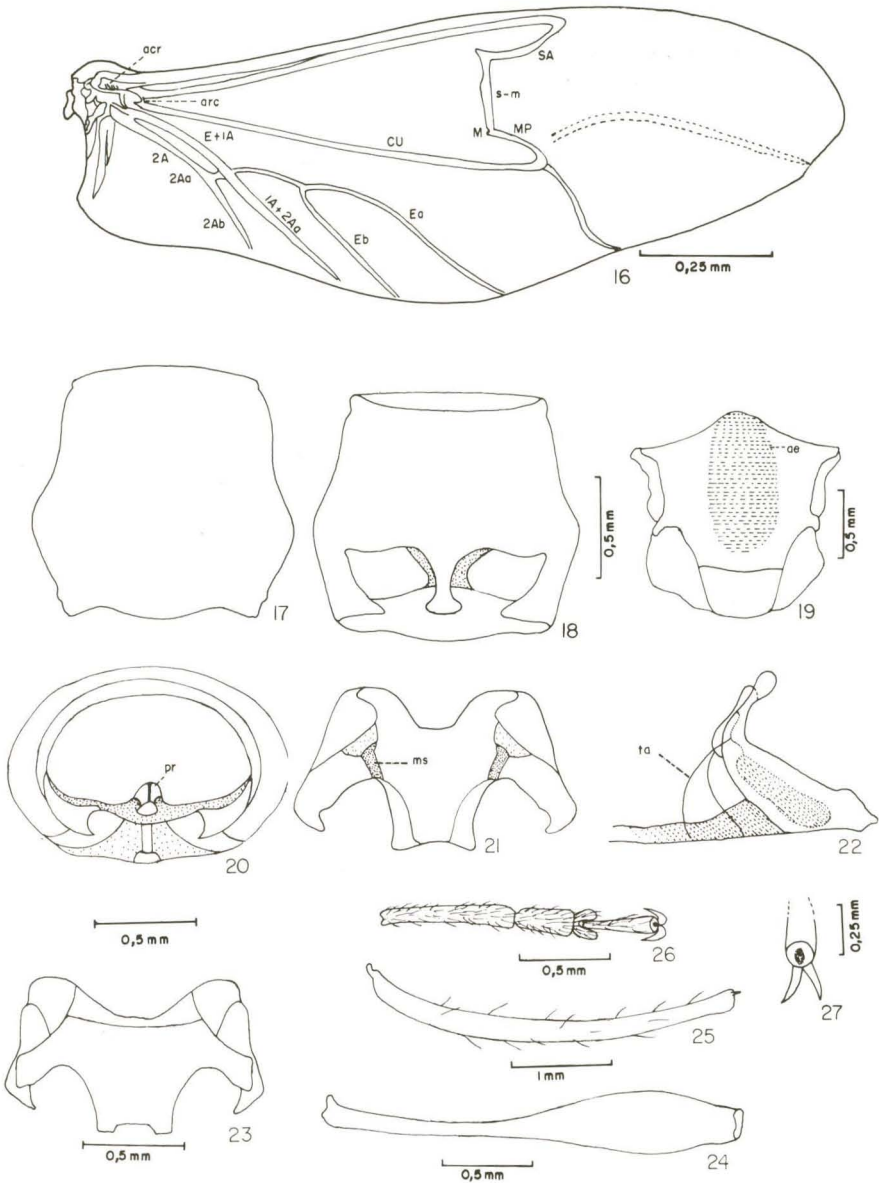
Antenas com onze art culos; revestidas de pilosidade curta, decumbente. No macho (Fig. 1), ultrapassam em 1-2 art culos o  pice elitral; art culos III-X cil ndricos, pouco alongados, os VII-X levemente expandidos para o  pice. Escapo (Fig. 6) subcil ndrico, pouco e gradualmente alargado para o  pice, sem depress o basal; com comprimento pouco maior que a metade do comprimento do art culo III. Art culo III o mais longo, cerca de duas vezes mais longo que o IV; VIII-X com comprimentos decrescentes e gradualmente intumescidos; o XI pouco mais longo que a metade do III; nas f meas (Fig. 2) atingem o  pice elitral ou pouco mais curtas; art culos distais a partir do VIII n tida e progressivamente mais curtos e intumescidos.

Prot rax (Fig. 17) com comprimento subigual   maior largura; bordos laterais sinuosos ao n vel do meio, projetados em tub rculos algo aguados, mais evidentes nas f meas; sem pontuao sexual; disco plano. Processo prosternal (Fig. 18) estreito entre as coxas, os bordos laterais subparalelos, expandidos na regi o apical. Proendosternito (Fig. 20) membranoso, com aspecto arredondado, pouco desenvolvido, fusionado na linha m dia; borda lateral com pequenas projeoes. Cavidade cotil ide anterior (Fig. 18) pouco angulosa aos lados, aberta posteriormente. Processo mesosternal (Fig. 23) aplanado, cerca de uma vez e meia t o largo quanto a cavidade cotil ide m dia; com encaixe para a borda anterior do metasterno; bordas laterais subparalelas, a apical entalhada. Cavidade cotil ide m dia aberta lateralmente. Mesoscuto (Fig. 19) com  rea estridulat ria ovalada, desenvolvida, finamente estriada (50x); ap dema interno ausente. Mesendosternito (Fig. 21) retil neo, obliquamente dirigido para o mesepimero, sem projeoes laterais e fusionado   parede do mesepimero. Metepisterno nitidamente estreitado para a borda posterior. Metendosternito (Fig. 22) com ped nculo estreito, parcialmente fusionado   parede interna do metasterno; braos curtos, fusionados  s l minas; estas curtas e arredondadas; tend es anteriores afastados entre si, as projeoes para seu implante reduzidas.

Escutelo (Fig. 19) mais largo que longo, a borda apical arredondada.

 litros n o carenados, subparalelos, os  pices arredondados; na base entre o  mero e o escutelo, n o deprimidos, a borda anterior n o projetada.

Asa membranosa (Fig. 16) com comprimento aproximadamente igual a tr s vezes a sua maior largura; lobo anal reduzido; M dia (M) reduzida a ausente;  rculo bem evidente; s-m retil nea; ramo basal da M dia Anterior (MA) ausente;



Figs 16-27. *Merocoremia monnei*, sp.n.. (16) Asa membranosa; (17) protórax; (18) prosterno; (19) mesoscuto e escutelo; (20) protórax vista posterior; (21) mesendosternito, vista ventral; (22) metendosternito; (23) mesosterno; (24,25) fêmur e tíbia posteriores; (26) metatarsômero, vista dorsal; (27) empódio (acr=área carenada; ae=área estridulatória (50x); arc=arco; CU=Cubital; Ea=ramo a da Empusal; Eb=ramo b da Empusal; M=Média; MP=Média Posterior; ms=mesendosternito; pr=proendosternito; SA=Setor Anterior; s-m=veia transversa setor-média; Ta=tendões anteriores; IA=Primeira Anal; 2A=Segunda Anal; 2Aa=ramo da Segunda Anal; 2Ab=ramo da Segunda Anal).

distância entre Média Posterior (MP) no ápice e Cubital (CU) cerca de uma vez e meia menor que o comprimento da s-m; transversa r-s ausente; célula da radial aberta; Setor Anterior (SA) alongada; Setor Posterior (SP) ausente; ramos Ea e Eb da Empusal, presentes, a Ea podendo ou não ligar-se à E+1A; Plical (P) ausente; área carenada (acr) na base da Radial presente.

Pernas (Fig. 1) com comprimentos crescentes, as posteriores cerca de duas vezes e meia mais longas que as anteriores. Fêmures pedunculados e clavados; pedúnculos sem sulcos e carenas; clavias dos fêmures médios alongadas, quase tão longas quanto o pedúnculo; pedúnculos posteriores (Fig. 24) quase alcançam o ápice elitral; clava posterior alongada, não abrupta, subigual ao comprimento do pedúnculo, ultrapassam o ápice elitral pelo seu comprimento. Tíbias subcilíndricas, levemente deprimidas, pouco dilatadas para o ápice; as posteriores (Fig. 25) levemente arqueadas, sem sulcos ou carenas, não dilatadas na metade distal, com cerdas pouco adensadas, o tufo de pêlos ausente. Esporões tibiais curtos, subiguais. Tarsos com comprimentos crescentes, os posteriores com o dôbro do comprimento dos anteriores. Pro- e mesotarsômeros com escovas tarsais compactas, a pilosidade branco-amarelada. Metatarsômeros I-II (Fig. 26) cilíndrico-alongados, mais notavelmente o I com o dôbro do comprimento do V; escovas tarsais reduzidas a duas fileiras estreitas de pêlos esbranquiçados curtos, com muitos pêlos esparsos ao longo da região mediana; metatarsômero III pouco expandido lateralmente. Empódio (Fig. 27) reduzido, sem cerdas.

Discussão. Apesar da aparente semelhança com *Rhopalophora* A.-Serville, 1834, este novo gênero é incluído em Comptoscerini por apresentar as cavidades cotilóides anteriores angulosas e as médias abertas lateralmente. Entre os gêneros desta tribo, *Merocoremia*, gen. n. é bastante próximo de *Coremia* A.-Serville, 1834, principalmente pelo: 1) padrão das antenas, com os artículos distais progressivamente encurtados e intumescidos, revestidos por pilosidade decumbente; 2) processo mesosternal mais largo que a cavidade cotilóide média; 3) fêmures pedunculados e clavados; 4) metatarsômeros muito alongados; 5) padrão da venação alar, principalmente pela ausência da veia Plical e a Empusal unida à E+1A. Distingue-se de *Coremia* pela área malar muito reduzida; ausência de tufo de pêlos nas tíbias posteriores; clavias dos fêmures posteriores alongadas e não abruptas, com comprimento subigual ao do pedúnculo; asa membranosa com presença da veia Empusal b e célula da veia Radial aberta; élitros, entre o úmero e o escutelo, não deprimidos, a borda anterior não projetada.

Merocoremia monnei, sp.n.

Figs 1-36

Macho (Fig. 1). Coloração geral negro; protórax vermelho-alaranjado, revestido por densa pilosidade amarelo-dourada, longa, sedosa e brilhante, com algumas cerdas eretas dorsais e laterais; pernas e antenas negras a castanhas; prosterno com pilosidade amarelo esbranquiçada, alongada, ereta; mesosterno, metasterno e abdômen revestidos por pubescência seríceia, particularmente abundante nos processos intercoxais.

Fronte densamente pontuada-corrugada, com abundante pubescência serícea. Clípeo com pontuação fina, adensada, a pubescência pouco aparente. Vértice com pontuação grossa adensada, a superfície sem microescultura, brilhante. Lígula (Fig. 10) com pilosidade pouco alongada e pouco abundante no bordo apical.

Antenas com pubescência amarelada, adensada para os artículos distais, com cerdas acastanhadas e curtas na face ventral dos basais, mais evidentes nos III-IV. Escapo com pontuação fina a média, adensada, a superfície microesculturada, subopaca; pubescência esparsa.

Escutelo com pubescência acastanhada.

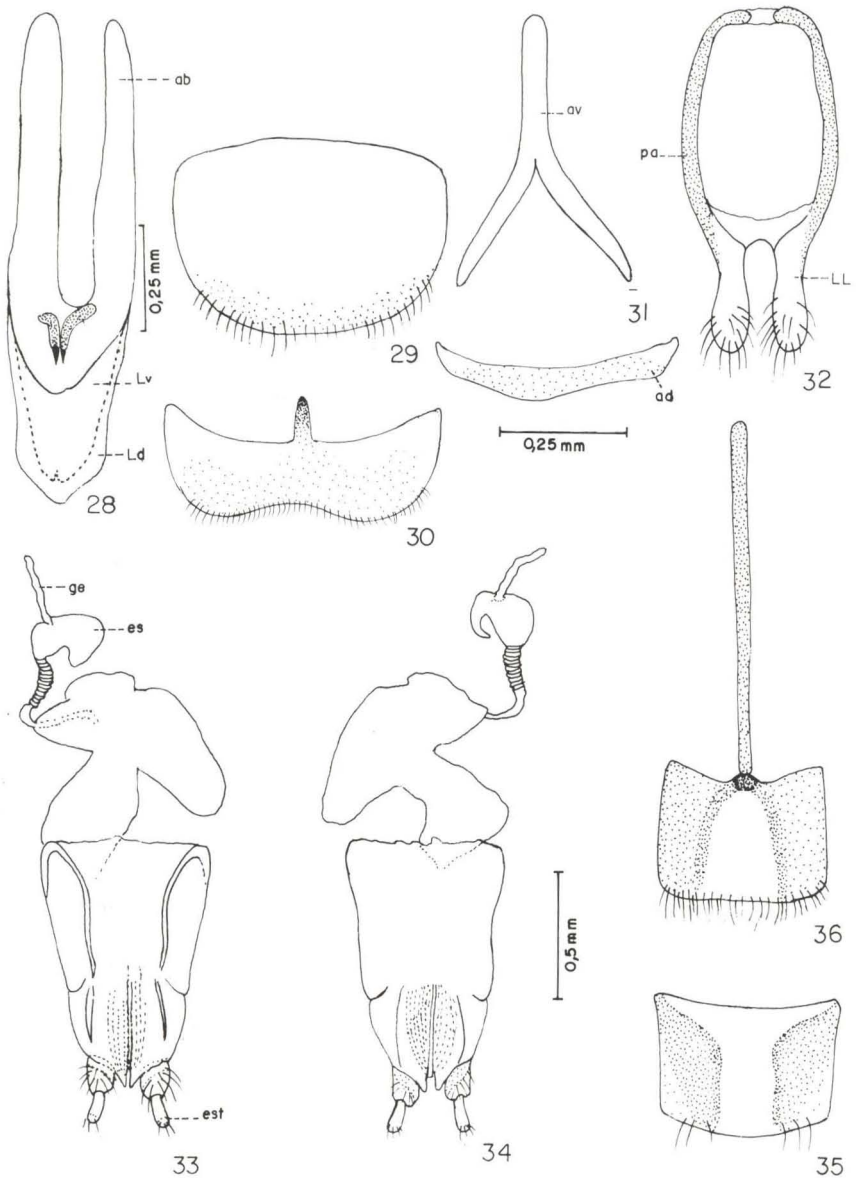
Élitros uniforme e densamente corrugado-pontuados, a superfície com evidente microescultura, opaca; pubescência inaparente, com algumas cerdas acastanhadas, eretas, na região basal.

Fêmuers com pubescência serícea bem aparente e cerdas esparsas; superfície com microescultura superficial. Tíbias anteriores e médias com abundante pubescência curta, acastanhada e cerdas curtas esparsas. Tarsos com pêlos negro-acastanhados pouco alongados na face dorsal.

Terminália. Macho: oitavo tergito (Fig. 29) transverso, cerca de um terço mais largo que longo, arredondado e pigmentado no bordo apical, com cerdas alongadas, pouco adensadas. Oitavo esternito (Fig. 30) com comprimento subigual à metade do comprimento do oitavo tergito, transverso, bissinuado e com cerdas pouco abundantes no bordo apical; apófise esternal subigual à metade do maior comprimento do esternito. Arco ventral (Fig. 31) com apófise pouco mais longa que a região bifurcada; esta em ângulo agudo; arco dorsal presente, em forma de haste delgada, pigmentada nas regiões laterais. Lobo médio (Fig. 28): lobo dorsal com o bordo apical acuminado, o ventral com ápice bífido; apófises basais cerca de uma vez e meia mais longas que a porção apical; orifício médio alargado, levemente sinuoso; forâmen médio estreitado. Saco interno, ao nível do forâmen médio, com duas peças esclerotinizadas pouco desenvolvidas e fusionadas na base; esta estreita, recortada no bordo apical formando dois pequenos lobos arredondados. Fêmea: oitavo segmento (Figs 35,36) cerca de um terço mais largo que longo, as bordas laterais subparalelas, a apical truncada-arredondada, com cerdas mais abundantes no esternito; apófise esternal quase três vezes mais longa que o esternito. Ovipositor (Figs 33,34) alongado, cerca de duas vezes mais longo que largo; limite entre as regiões proximal e distal do hemisternito demarcado por constrição acentuada; região distal bífida com lobos diferenciados e com cerdas pouco abundantes; estilos alongados, apicais. Ducto espermatecal forma inúmeros anéis no ponto de ligação com a espermateca; glândula da espermateca pouco alongada, mais curta que a espermateca.

Abdômen. Último urosternito com bordas laterais atenuadas para o ápice, este arredondado (fêmea) a levemente truncado (macho).

Dimensões em milímetros, macho e fêmea, respectivamente. Comprimento total, 5,67 a 7,58 e 5,83 a 8,25; comprimento do protórax, 1,17 a 1,50 e 1,23 a 1,50; maior largura do protórax, 1,17 a 1,58 e 1,25 a 1,58; comprimento do élitro, 4,08 a 5,50 e 4,25 a 5,92; largura umeral, 1,33 a 1,75 e 1,42 a 1,83.



Figs 28-36. *Merococcimia mounier*, sp.n. (28-32) Terminalia masculina: (28) tubo medial; (29) oitavo tergito; (30) oitavo esternito; (31) arcos dorsal e ventral; (32) tégmen. (33-36) Terminalia feminina: (33,34) ovipositor (hemisternito IX dorsal e ventral); (35) oitavo tergito; (36) oitavo esternito (ab)=apófises basais; ad=arco dorsal; av=arco ventral; es=espermateca; est=estilos; ge=glândula espermatecal; Ld=lobo dorsal; LL=lobos laterais; Lv=lobo ventral; pa=peça anelar; IX=hemisternito 9).

Holótipo macho (Fig.1). BRASIL, *Espírito Santo*, Baixo Guandu, 26-30.XI.1971, C. Elias *leg.* (DZUP). Parátipos: BRASIL, *Bahia*: Condeúba, 2 machos XII. 1975, 1 macho e 1 fêmea I.1976, S.Souza *leg.* (DZUP). *Espírito Santo*: Baixo Guandu, 1 macho 5-21.X.1970, 2 machos 8-14.X.1970, 2 machos 15-21.X.1970, C. Elias *leg.* (DZUP), 1 macho e 1 fêmea X.1971, P.C. Elias *leg.* (MZSP), 2 fêmeas 8.XI.1971, 2 machos e 1 fêmea 26-30.XI.1971, C. Elias *leg.* (DZUP), 1 macho e 1 fêmea, X.1976, F.M. Oliveira *leg.*, 5 machos e 5 fêmeas X.1976, E. dos Santos *leg.* (MNRJ); Colatina, 1 macho 13.XII.1967, C.T. Elias *leg.*, 1 fêmea 16-21.X.1970, C.Elias *leg.* (DZUP), 2 machos X.1976, O. Oliveira *leg.*, 1 macho X.1976, A. Silva *leg.* (MNRJ).

Etmologia. Espécie dedicada ao Dr. Miguel A. Monné, do Museu Nacional, Universidade Federal do Rio de Janeiro.

AGRADECIMENTOS. Sinceramente, agradeço à minha orientadora, Dra. Dilma Solange Napp pelo incentivo, apoio e críticas; ao Dr. Miguel A. Monné pelo envio de parte do material estudado; ao Dr. Pe. Jesus S. Moure pelo nome dado ao gênero e ao Dr. Albino M. Sakakibara, pelas fotografias.

REFERÊNCIAS BIBLIOGRÁFICAS

- CROWSON, R.A. 1938. The metendosternite in Coleoptera: a comparative study. **Trans. ent. Soc. Lond.** **87** (17): 397-416.
- . 1944. Further studies on the metendosternite in Coleoptera. **Trans. ent. Soc. Lond.** **94** (2): 273-310.
- EHARA, S. 1954. Comparative anatomy of male genitalia in some Cerambycidae beetles. **J. Fac. Hokkaido Univ.** **12** (1-2): 61-115.
- IUGA, V.G. & A. ROSCA. 1962. La morphologie de l'apex abdominal ches les Cerambycidae (Col.), comparé à celui Hymenoptères. **Trav. mus. Hist. "Gr. Antipa"** **3**: 101-156.
- LINDROTH, C.H. & E. PALMEN. 1970. Coleoptera, p.80-88. In: TUXEN, S.L.(ed.) **"Taxonomist's glossary of genitalia in insects.** Copenhagen, Munksgaard, 359p.
- MARINONI, R.C. & L.C. ALMEIDA. 1983. Sobre a venação alar em Coccinellidae e Cerambycidae (Coleoptera). **Revta bras. Ent.** **27** (3/4): 267-275.